

# بررسی بازدارندگی تخریب زیستی نوعی پیوند دهنده

Archive of SID

## پلی یورتان با بکارگیری برخی عوامل شیمیایی

Study on Inhibition of Biological Deterioration of a Type of Polyurethane Binder  
by Using Some Chemical Agents

روحا کسری کرمانشاهی<sup>۱</sup>، زهره صهبائی<sup>۲</sup>، مجید میرمحمد صادقی<sup>۱</sup>

۱- دانشگاه اصفهان، دانشکده علوم، صندوق پستی (۸۱۷۴۶/۷۳۴۴) ۲- گروه تحقیقات و بهبود بهره‌وری شرکت آب و فاضلاب استان اصفهان،

صندوق پستی ۹۰

دریافت: ۸۰/۵/۱۴ پذیرش: ۸۱/۴/۱۰

### چکیده

در این پژوهش، هدف جلوگیری از تخریب زیستی (باکتریایی)، یک نوع پیوند دهنده پلی یورتان پلی اتری (مورد استفاده در صنایع نظامی) به وسیله ۸ گونه باکتریایی به نامهای: سودوموناس آروژنوزا، سودوموناس پونیدا، نوکاردیا بروی کانتا، کورینه باکتریوم فلایوسنس، کورینه باکتریوم پرمتابولوم، بروی باکتریوم دیواریکانوم، میکروکوکوس رزوتوس و میکروکوکوس لئوس، با بکارگیری چند روش است.

روش اول شامل پوشاندن سطح پلیمر به وسیله عوامل شیمیایی ضد میکروبی یا به عبارت دیگر بازدارنده‌های غیر رقابتی سرای به تأخیر انداختن چسبندگی باکتریایی یا جلوگیری کامل از چسبندگی به سطح پلیمر با استفاده از محلولهای آهن (III) کلرید، سدیم هیپوکلریت و سدیم بی کربنات و روش دوم ایجاد خاصیت ضد میکروبی در پلیمر، به وسیله ترکیب کردن مواد اصلی تشکیل دهنده پلیمر با عامل ضد میکروبی (با غلظت کشنده باکتری عامل) در طی فرایند تولید پلیمر است. در این روش از محلول آهن (II) سولفات استفاده شده است. بررسی تخریب باکتریایی پلی یورتان موردنظر به کمک باکتریهای مورد آزمایش و عدم تخریب آن در مجاورت عوامل پایدار کننده در برابر حمله میکروبی با روش طیف سنجی ATR-FTIR انجام گرفت. در این پژوهش به منظور ارزیابی بهتر نتایج، پلی یورتان به عنوان تنها منبع کربن و انرژی تحت تأثیر تعلیق باکتریایی قرار گرفت، زیرا در غیر این صورت تولید آزمونهای تخریب کننده در سطح بالایی تحریک می شود و سرعت تخریب افزایش می یابد.

واژه های کلیدی: تخریب زیستی، پلی یورتان، بازدارندگی، عوامل شیمیایی، باکتری

**Key Words:** biological deterioration, polyurethane, inhibition, chemical agents, bacterium

### مقدمه

تخریب پلی یورتانها به عنوان گروه مهمی از پلیمرها که امروزه تولید و مصرف آنها سرعت در حال افزایش است، توجه پژوهشگران پلیمر را به خود جلب کرده است. معمولترین نوع تخریب پلی یورتانها به وسیله

\* مسئول مکاتبات، پیام نگار: rkasra@yahoo.com

واکنشهای آبکافت (هیدرولیز)، گرماکافت (ترمولیز)، اکسایش، نورکافت (فوتولیز) و میکروبی انجام می گیرد [۱]. با توجه به کاربردهای بسیار وسیع و متنوع پلی یورتانها در صنایع مختلف، دامنه نتایج نامطلوب حاصل از تخریب میکروبی این نوع پلیمر نیز بسیار

مجله علمی پژوهشی  
سال پانزدهم، شماره سوم، مرداد - شهریور ۱۳۸۱

گسترده است و از استهلاك تجهيزات نظامى تا عفونتهاى حاصل از استفاده سوندهاى پلى يورتانى در پزشكى را كه به نام عفونتها يا آلودگيهاى سطحى پلاستيكي معروف است، در بر مى گيرد. بنا بر اين، پايدار سازى اين نوع پليمر در برابر تخريب ميكروبي از اهميت زيادى برخوردار است.

براي پايدار سازى هر نوع پليمر در برابر عوامل تخريب كننده و از آن جمله عوامل ميكروبي، شناخت مكانيسم عوامل ميكروبي آن پليمر، ارتباط تخريب ميكروبي آن با ساير عوامل تخريب كننده زىستى و غير زىستى، عوامل مؤثر در تعيين سرعت تخريب، روشهاى بررسى تخريب و خصوصا ارتباط ساختار پليمر با تخريب ميكروبي ضرورى است.

از آنجا كه رشد و بقاى ميكروارگانيسم در محيط تا حد زيادى تحت تاثير عوامل محيطى قرار مى گيرد، در تخريب زىستى پليمر به وسيله ميكروارگانيسم نيز اين عوامل نقش مهمى را ايفا مى كنند. در بسيارى از حالات، تشخيص اينكه مكانيسم تخريب موادى كه در معرض محيط خارج از آزمایشگاه اند، زىستى است يا محيطى مشكل است. مثلا، پلى يورتانهاى استرى نسبت به حمله فارچى حساسيت زيادى دارند. با اين حال، آب نيز به عنوان عامل مهم هيدروليز كننده پيوندهاى استرى شناخته شده است. بنا بر اين، تشخيص اين دو نوع عامل تخريب كننده از يكديگر مشكل است [۲].

روشهاى آزمایشگاهی بررسى قابليت تخريب پليمرها بر توانايى باكتريها و فارچها در استفاده از پليمر به عنوان تنها منبع كربن استوار است. درجه تخريب به وسيله مشاهده افزايش تعداد سلولهاى رشد يافته روى پليمر، توليد كربن ديوكسيد، جذب اكسيژن، تشكيل محصولات تخريب و تغييرات در ساختار پليمر اندازه گيرى مى شود [۳].

درباره پايدار سازى پليمر در برابر تخريب ميكروبي بايد گفت كه اين كار به دو صورت قابل اجراء است [۲]:

#### تغيير و اصلاح ساختار شيميايى پليمر

در انجام اين روش، توجه به دو نكته ضرورى و حائز اهميت است: (الف) ارتباط بين نوع گروههاى شيميايى و مقاومت آنها نسبت به حمله ميكروبي و (ب) اختصاص داشتن تركيب آنزيم با فعاليت آن. به عنوان نتيجه منطقي مى توان گفت كه مقاومت ميكروبي يك پليمر، در نتيجه ساختار شيميايى آن بيش از مقاومت آن در نتيجه استفاده از عوامل ضد ميكروبي است. هدف اصلى تغيير ساختار شيميايى بايد در جهت ساخت يك نوع پليمر يا فرمولبندى يا تغيير فرمولبندى باشد كه تضمين كننده يك يا هر دو عامل يادشده است. با استفاده از اين روش، افزايش مقاومت تا زمانى برقرار خواهد بود، كه

ميكروارگانيسم قادر به تحمل تغييرات ايجاد شده و ستر آنزيميهاى جديد نباشد.

#### استفاده از بازدارنده

يك بازدارنده مناسب بايد در غلظتهاى كم عليه انواع زيادى از ميكروارگانيسمها مؤثر بوده، ولى نبايد براى انسان سمى باشد. در ضمن، بايد دسترسى و استفاده از آن مقرون به صرفه باشد. فعاليت شيميايى يك بازدارنده به قدرت تاثير آن روى واكنشهاى حياتى سلول وابسته است. غير از عوامل شيميايى فعال در سطح، كه روى نفوذ پذيرى غشاي سلول مؤثرند، اكثر بازدارنده ها به عنوان بازدارنده هاى آنزيمي عمل مى كنند، اين بازدارنده ها به دو گروه تقسيم مى شوند:

- بازدارنده هاى رقابتي (competitive inhibitor) كه از نظر ساختار، مشابه سوبستراى آنزيم اند و بنا بر اين براى جا يگاه فعال آنزيم با سوبستراى آنزيم رقابت مى كنند.

- بازدارنده هاى غير رقابتي (non competitive inhibitor) كه لزوما با سوبسترا براى جا يگاه فعال رقابت ندارند، ولى از عمل كاتاليزورى آنزيم جلو گيرى مى كنند.

نكته حائز اهميت اين است كه قبل از حمله آنزيمي ميكروارگانيسم به پليمر، چسبندگى و به دنياى آن تشكيل كلنى ميكروبي بر سطح پليمر اولين مرحله در مكانيسم تخريب ميكروبي پليمر است. بنا بر اين، اولين و در واقع اصلى ترين اقدام در جهت كنترل و پايدار سازى پليمر در برابر تخريب ميكروبي آن، جلو گيرى از چسبندگى و تشكيل كلنى ميكروبي بر سطح پليمر است. به منظور جلو گيرى از تشكيل كلنى بر سطح پليمر، ابتدا بايد چسبندگى باكتريايى را حذف كرد و براى حذف چسبندگى باكتريايى و به دنياى آن تشكيل فيلم زىستى بر سطح پليمر مى توان يكي از روشهاى زير را بكار برد [۴]:

- ايجاد خواص ذاتى ضد چسبندگى در پليمر در طى فرايند توليد پليمر  
- پوشاندن سطح پليمر به وسيله عوامل شيميايى ضد ميكروبي براى به تاخير انداختن چسبندگى باكتريايى يا انهدام كامل ميكروارگانيسم در هنگام تماس با پليمر.

آندرسون و همكاران [۵] زىست پايدارى و زىست تخريب پلى يورتان زىست پزشكى (biomedical) را بررسى كردند و نشان دادند كه قطعات نرم پلى يورتان پلى اتر به وسيله راديكالهاى اكسيژن شكسته مى شوند و اظهار داشتند كه وجود اكسيژن در تشديد زىست تخريب بسيار مؤثر است. همچنين، اين پژوهشگران بيان داشتند كه زىست تخريب پلى يورتان ممكن است به وسيله جا يگزين كردن مواد شيميايى مختلفى مانند پلى دي مئيل سيلوكسانها، پلى كربناتها و قطعات نرم هيدروكربن براى قطعات نرم پلى اتر متوقف گردد. نكته

از پلیمر تخریب یافته، ۸ گونه باکتریایی که از سایر گونه‌ها مؤثرتر بودند، انتخاب گردید و تخریب و پایداری پلیمر در ارتباط با این ۸ گونه بررسی شد. پلیمر تخریب یافته از شرکت پلیمر سازی مرکز تحقیقات مهندسی جهاد سازندگی کرج تهیه شد. این ۸ گونه باکتریایی در جدول ۱ ارائه شده است.

محیطهای کشت: محیط کشت مینیم آگار (MA) دارای آمونیوم نیترات (۲g/L)، دی‌پتاسیم هیدروژن فسفات (۱/۵g/L)، منیزیم سولفات (۰/۵g/L) و آگار آگار (۱۵g/L و pH=۷) و محیطهای کشت ماده مغذی آگار (nutrient agre, NA) و برات (nutrient brath, NB) است.

محلولهای شیمیایی: محلول بافر فسفات، محلول سرم فیزیولوژی، محلولهای ۲۰، ۴۰، ۶۰، ۸۰، ۱۰۰ mmol/L آهن (III) کلرید (FeCl<sub>3</sub>.6H<sub>2</sub>O, MW=۲۷۰/۵)، محلولهای ۸، ۱۰، ۱۵ mmol/L آهن (II) سولفات (FeSO<sub>4</sub>. 7H<sub>2</sub>O, MW=۲۷۸)، محلولهای ۸۰، ۹۶ و ۱۲۰g/L سدیم بی‌کربنات و محلولهای سدیم هیپوکلریت دارای ۵۸۷۱/۲۵، ۶۷۸۱/۳ و ۱۱۷۴۲/۵ ppm کلر فعال که همگی محصول شرکت مرک‌اند. فرمولبندی پلی‌یورتان مورد آزمایش: پلی‌یورتان مصرفی در این پژوهش در صنایع نظامی کاربرد دارد و از نوع سوخت جامد مرکب پلی‌یورتان- آمونیوم پرکلرات است که در آن پلی‌یورتان به‌عنوان پیونددهنده و بافت اصلی بلورهای اکسیدکننده آمونیوم پرکلرات را در برمی‌گیرد. سیستم پلی‌یورتانی از سه جزء، پلی‌اکسی پروپیلن گلیکول (PPG) به‌عنوان افزایش دهنده طول زنجیر (دی‌ال)، گلیسرول مونورسیسیولات (GMRO) به‌عنوان عامل شبکه‌ای کننده (تری‌ال) و تولون دی‌ایزوسیانات (TDI) به‌عنوان عامل پخت تشکیل یافته است. کاتالیزور مورد استفاده، آهن (III) استیل استونات (FAA) است. مخلوط کردن مستقیم این سه جزء در کنار کاتالیزور FAA موجب تولید یک شبکه سه بعدی یورتانی می‌شود.

جدول ۱- باکتریهای مورد آزمایش.

<i>Pseudomonas aeruginosa</i>	سودوموناس آئروژینوزا
<i>Pseudomonas putida</i>	سودوموناس پوتیدا
<i>Nocardia brevicatena</i>	نوکاردیابروی کاتنا
<i>Corynebacterium pourometabolum</i>	کورینه باکتریوم پرمتابولوم
<i>Corynebacterium flaviscense</i>	کورینه باکتریوم فلاوی‌سنس
<i>Brevibacterium divaricatum</i>	بروی باکتریوم دیواریکاتوم
<i>Micrococcus roseus</i>	میکروکوکوس رزئوس
<i>Micrococcus leutus</i>	میکروکوکوس لئوس

حائز اهمیت در نتایج پژوهش آنها این است که نهایتاً برای استفاده دراز مدت از پلی‌یورتان شناخت کامل مکانیسمهای زیست تخریب الاستومرهای پلی‌یورتان و به دنبال آن جلوگیری از وقوع این مکانیسمها ضروری است. هدف از انجام این پژوهش، جلوگیری از تخریب باکتریایی (bacterial deterioration) یک نوع پیوند دهنده پلی‌یورتان به وسیله هشت گونه باکتریایی بود، که قبلاً در مقاله دیگری [۶] به‌عنوان مؤثرترین باکتریهای تخریب کننده پلی‌یورتان معرفی شده‌اند.

برای بررسی و ارزیابی تخریب باکتریایی (زیستی) پلی‌یورتان و همچنین عدم تخریب آن در مجاورت عوامل پایدارکننده، روشهای مختلفی وجود دارد، اما آنچه در اکثر منابع علمی در این خصوص دیده می‌شود استفاده از روشهای طیف‌سنجی زیر قرمز تبدیل فوریه با بازتابندگی کلی تضعیف شده (attenuated total reflectance-fourier transform infrared, ATR-FTIR) و میکروسکوپ الکترون پویشی (SEM) است. از آن جمله می‌توان به پژوهشهای ماتور و همکاران [۷] در خصوص زیست پایداری پلی‌یورتانهای تغییر یافته اشاره کرد که در آن برای تشخیص کیفیت زیست تخریب پلی‌یورتان از روش طیف‌سنجی ATR-FTIR و برای تشخیص کمیت تخریب از روش SEM استفاده شده است.

ویگیتز و همکاران [۸] نیز که زیست تخریب پلی‌اتر پلی‌یورتان (PEU) پوشش داخلی دستگاه تنظیم‌کننده مکعب را بررسی کردند از میکروسکوپ نوری و میکروسکوپ الکترون پویشی به منظور تعیین شکستهای سطحی پلیمر و از طیف‌سنجی ATR-FTIR جهت تجزیه پلی‌یورتان برای بررسی تخریب شیمیایی استفاده کردند. این پژوهشگران بیان داشتند که روش تجزیه ای ATR-FTIR نشان می‌دهد که تخریب شیمیایی PEU از طریق اکسایش قطعه نرم اتر انجام می‌گیرد. آنها این فرضیه را ارائه دادند که هیدروژن پروکسید از طریق پوشش خارجی به داخل پلیمر نفوذ می‌کند و سپس به رادیکالهای هیدروکسیل تجزیه می‌شود که این رادیکالها عامل اصلی تخریب ساختار شیمیایی پلی‌اتر پلی‌یورتان اند.

در این پژوهش نیز، روش مورد استفاده برای ارزیابی میزان و کیفیت زیست تخریب پلی‌یورتان مورد آزمایش، روش طیف‌سنجی ATR-FTIR و در بعضی موارد میکروسکوپ الکترون پویشی است.

## تجربیی

### مواد

مواد مصرفی در این پژوهش شامل باکتریها، محیطهای کشت، محلولهای شیمیایی و پلی‌یورتان است که به ترتیب معرفی می‌شوند. باکتریهای مورد آزمایش: از بین میکروارگانیزمهای جدا شده

**دستگاهها**

برای بررسی ساختار محصولات تخریب از طیف سنج ATR-FTIR مدل IFA-88 ساخت آلمان استفاده شده است. عکسهای SEM به وسیله میکروسکوپ الکترونی ساخت کمبریج مدل S 330 تهیه شد. ابعاد قطعات اولیه نمونه حدود ۲۰×۲۰×۳cm بود که این قطعات به وسیله دستگاه برش به دو صورت ۲×۲×۱۰cm و ۲×۱×۳۰cm بریده شد.

**روشها**

بررسی اثر عوامل شیمیایی بر رشد باکتریهای مورد آزمایش: به منظور تعیین غلظت مؤثر عوامل شیمیایی ضد میکروبی مورد استفاده در این پژوهش، از روش رقت لوله‌ای (tube dilution) استفاده شد [۹]. این روش یکی از دقیقترین روشهای تعیین حساسیت باکتریها نسبت به مواد ضد میکروبی بشمار می‌رود. به کمک این روش حداقل غلظت ماده بازدارنده که قابلیت مهار رشد باکتریها را دارد (minimum inhibitor concentration, MIC) و حداقل غلظت ماده ضد میکروبی که توانایی کشتن ۹۹/۹ درصد از یک ارگانیسم را دارد (minimum bacteriocide concentration, MBC) معین می‌گردد. در مورد سدیم هیپوکلریت لازم بود قبل از تعیین MIC و MBC، غلظت سدیم هیپوکلریت موجود در آب زاول آزمایشگاهی به روش یدومتری معین شود [۱۰].

بررسی اثر تغییرات pH بر رشد باکتریهای مورد آزمایش: از آنجا که pH عامل بسیار مهمی در فعالیت عوامل شیمیایی ضد میکروبی است، رشد باکتری در pH های مختلف بررسی شد. برای این منظور، ۱۰ لوله آزمایش تهیه شد. محدوده pH از ۲/۸ تا ۱۰ بود. مواد لازم برای ایجاد pH از ۲/۸ تا ۷/۶ ماده مغذی برات، سیتریک اسید (۰/۱M) و پتاسیم ارنوفسفات (۰/۲ M) و مواد لازم برای ایجاد pH از ۸/۴ تا ۱۰ ماده مغذی برات، سود (۰/۲ M) و بوریک اسید (۰/۲ M) بود. پس از تهیه مجموعه ۱۰ تایی محلول pH، ۰/۱ml از محیط کشت باکتریایی ۲۴ ساعته (بر حسب سرعت رشد باکتریایی این زمان متفاوت است) به هر کدام از لوله‌ها تلقیح و با محتویات لوله بطور کامل مخلوط شد. پس از قراردادن لوله‌ها در گرمخانه ۳۰-۲۵°C به مدت ۲۴، ۴۸ و ۷۲ ساعت (بر حسب سرعت رشد باکتری) کدورت لوله‌ها نشان دهنده رشد باکتری در pH مربوط و نبود کدورت، نشان دهنده عدم رشد در آن pH بود. در ضمن، برای دستیابی به نتیجه دقیقتر، ۰/۱ ml از لوله‌های فاقد کدورت روی محیط کشت مغذی آگاردار پخش گردید که در صورت عدم تشکیل کلتی، عدم رشد باکتری در pH مزبور تأیید شد.

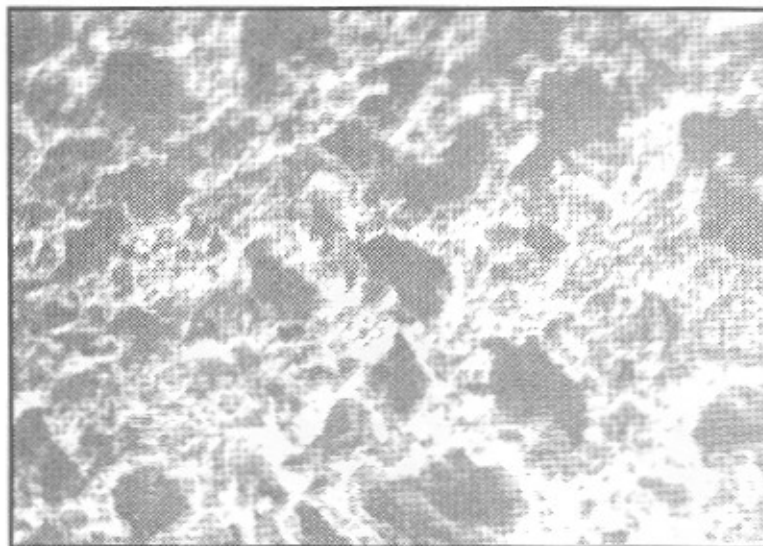
ستتر پلیمر: ابتدا کاتالیزور یخت (آهن (III) استیل استونات) به میزان مناسب در تولون دی ایزوسیانات (TDI) حل شده و محلول ۲/۵ درصد کاتالیزور در TDI حاصل می‌شود. TDI به مدت ۱/۵ ساعت در مجاورت کاتالیزور قرار می‌گیرد و در دمای ۳۵°C به کمک همزن مخلوط می‌شود و سپس، محلول در مجاورت هوای محیط سرد شده و مورد استفاده قرار می‌گیرد. *Archive of SID*

نمونه‌های سوخت الاستومر پورتان در مخلوط‌کن یک کیلویی مجهز به سیستم خلاء تهیه می‌شود. ابتدا، مواد مایع بجز محلول کاتالیزور در TDI درون مخلوط‌کن ریخته شده و مخلوط می‌شود، سپس، مقادیر مناسب آمونیوم پرکلرات به مخلوط‌کن افزوده می‌شود و تحت شرایط خلاء همزدن ادامه می‌یابد، سپس، محلول کاتالیزور در TDI اضافه می‌شود و همزدن حدود ۱۰ دقیقه دیگر ادامه پیدا می‌کند. آنگاه، خمیر بدست آمده داخل ورق آلومینیومی به ابعاد تقریبی ۱۵×۲۰cm ریخته شده و در داخل گرمخانه به مدت ۴۸ ساعت قرار می‌گیرد و پس از این مدت در مجاورت هوای محیط سرد می‌گردد. اشاره می‌شود که ستتر پلی‌پورتان مورد آزمایش در این پژوهش در مرکز تحقیقات مهندسی جهاد سازندگی انجام گرفت.

سترون سازی اولیه قطعات بریده شده پلیمر: در این پژوهش برای سترون‌سازی قطعات پلیمر، اژدو روش سترون‌سازی با بخار فرمالدهید [۱۱] و سترون‌سازی به وسیله گرما [۱۲] استفاده شد. قطعات پس از سترون‌سازی، به‌عنوان تنها منبع کربن در محیط کشت مینیم آگار مورد استفاده قرار گرفت.

تعداد قطعات پلیمر موجود در هر محیط: به ازای هر پلیت (ظرف مخصوص کشت باکتری) مینیم آگار که دارای ۲۵ ml محیط کشت است، ۲g پلیمر در آن قرار گرفت که این نسبت در واقع ۸ درصد وزنی - حجمی است.

حجم و رقت تعلیق باکتریایی اضافه شده در هر محیط: رقت تعلیق باکتریایی موجود در هر پلیت، ۱۰<sup>۷</sup> باکتری در هر میلی‌لیتر بود. برای تهیه چنین رقتی، طبق برسیهای انجام شده در این پژوهش مشخص گردید که کشت ۱۸ ساعته باکتریهای سودوموناس آنروژینوزا، سودوموناس پوئیداه، کورینه باکتریوم برمتابولوم، کورینه باکتریوم فلاوی سنس و بروی باکتریوم دیواریکا توم و کشت ۴۸ ساعته نوکاردیا بروی کانتا و کشت ۷۲ ساعته باکتریهای میکروکوکوس رزنوس و میکروکوکوس لنوس دارای غلظتی بود، که تلقیح ۲ درصد آن در محیط مینیم آگار می‌توانست رقت ۱۰<sup>۷</sup> باکتری در هر میلی‌لیتر را فراهم کند. طبق آزمایشهای



Archive of SID

شکل ۱- عکس میکروسکوپی سطح نمونه پلیمر با باکتری سودوموناس آروژینوزا با بزرگنمایی ۱۰۰، مدت قرار گرفتن در گرمخانه ۳ ماه، دما ۲۵°C.

میکروسکوپ الکترونی در زیر خلاصه شده است [۱۵]:

- خشک کردن نمونه در دستگاه خشک کن در نقطه بحرانی (Critical Point Drying) CO<sub>2</sub>.
- چسباندن نمونه روی عامل نگهدارنده (Stub) آلومینیومی.
- پوشاندن نمونه ابتدا به وسیله لایه‌ای از کربن و سپس لایه‌ای از طلا و پالادیم در دستگاه پوشش دهنده.
- قرار دادن عامل نگهدارنده دارای نمونه در جایگاه خاص خود در میکروسکوپ الکترون پوششی و سپس مشاهده سطح نمونه.

بررسی چسبندگی یا عدم چسبندگی باکتری به سطح پلیمر: برای بررسی چسبندگی یا عدم چسبندگی باکتریهای مورد آزمایش به سطح پلی‌پورتان نیز از دستگاه میکروسکوپ الکترون پوششی استفاده شد [۱۶، ۱۷].

### نتایج و بحث

#### بررسی تخریب باکتریایی پلی‌پورتان

بطور کلی، باکتریهای مورد آزمایش از نظر تأثیر روی ساختار مولکولی پلی‌پورتان به ۴ دسته تقسیم می‌شوند: دسته اول باکتریایی که پس از یک ماه قرار گرفتن در گرمخانه در دمای ۲۵°C بر نواحی مختلف ساختار مولکولی پلیمر موثرند. به عبارت دیگر، رشد این باکتریها روی پلی‌پورتان موجب کاهش یک جذب

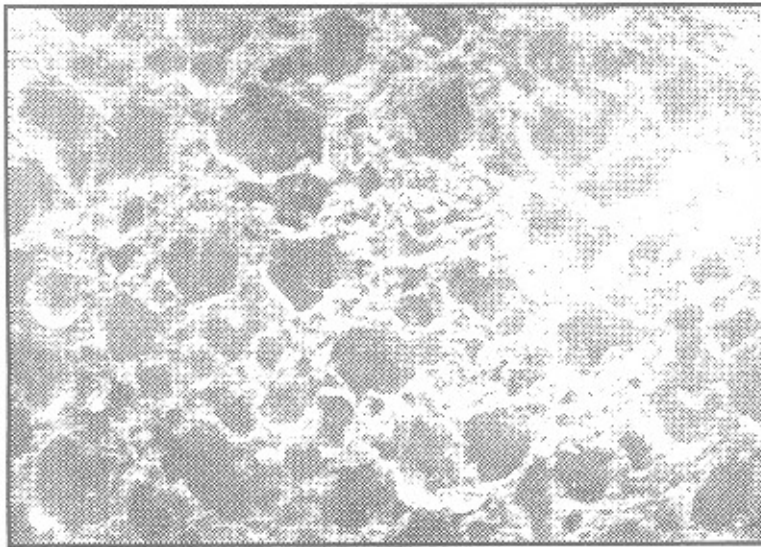
انجام شده، تعداد باکتری موجود در این کشتهای ۱۸، ۴۸ و ۷۲ ساعته برابر ۱۰<sup>۷</sup> × ۵ در میلی لیتر بود.

پس از قرار گرفتن باکتریهای یاد شده در مدت زمان مشخص در گرمخانه، محیطهای NB واجد باکتری (با دور ۲/۵ × ۱۰۰۰ rpm به مدت ۳۰ دقیقه در دمای ۲۵°C) سانتریفوژ شد و پس از سه بار شستشو با بافر فسفات و سرانجام تهیه تعلیق در همان بافر، برای تلقیح ۲ درصد، ۰/۵ ml از آن به محیط کشت مینیم آگار واجد پلیمر تلقیح شد. اشاره می‌شود کلیه مراحل یاد شده در شرایط کاملاً گندزدا (aseptic) انجام گرفت.

سترون سازی سطحی قطعات پلیمر: پس از فرار دادن کلیه پلیتها به مدت ۱، ۳ و ۴ ماه در دمای ۲۵°C در گرمخانه، قطعات پلیمر در شرایط سترون برداشت شد. پس از سترون سازی سطحی [۱۳] کلیه قطعات، بسته‌های دارای قطعات به مدت ۲۴ ساعت در گرمخانه ۵۰°C خشک شدند.

بررسی شیمیایی ساختار مولکولی پلیمر: در این پژوهش، برای بررسی شیمیایی ساختار مولکولی پلی‌پورتان، قبل و بعد از انجام کلیه مراحل انجام شده، از روش طیف‌سنجی ATR-FTIR [۱۴] استفاده شد. دستگاه به کار برده شده، دستگاه طیف‌سنج FTIR بود [۱۰].

بررسی فیزیکی ساختار سطحی پلیمر: در این پژوهش، برای بررسی فیزیکی ساختار سطحی پلیمر از دستگاه میکروسکوپ الکترونی پوششی استفاده شد. مراحل آماده‌سازی نمونه برای مشاهده با



## Archive of SID

شكل ۲- عكس ميكروسكوبى سطح نمونه پليمر شاهد پس از سترون سازى سطحى با بزرگنمايى ۱۰۰، مدت قرار گرفتن در گرمخانه ۳ ماه، دما ۲۵°C.

كاهش جذب اين دو پيوند مربوط به اثر رشد باكتري ميكروكوكوس رزنوس است.

دسته سوم باكتريهائى كه در ناحيه C-H پلي يورتان بيش از ناحيه C-O مؤثرند، درصد كاهش پيك جذب در ناحيه C-H، در اثر رشد باكتريهائى يادشده، بيش از درصد كاهش در ناحيه C-O است. درمورد باكتريهائى مورد آزمون، تنها باكتري سودوموناس پوتيدا پس از قرار گرفتن در گرمخانه در دماى ۲۵°C به مدت يك ماه اين حالت را نشان مى دهد. البته، رشد باكتري سودوموناس آئروژينوزا روى پلي يورتان كه در دماى ۴°C به مدت ۴ ماه در يخچال قرار گرفته بود نيز روى ناحيه C-H بيش از ناحيه C-O مؤثر بود. با توجه به بالا بودن اثرى پيوند C-H نسبت به C-O اين نتيجه بسيار جالب توجه است، ولى به هرحال به منظور تأييد قطعى نياز به پژوهشهاى بيشتر و استفاده از امكانات دستگاهى مجهزتر است.

دسته چهارم باكتريهائى كه همانند گروه اول بر كليۀ نواحى ساختار مولكولى پليمر مؤثرند، اما درصد اثر آنها بر پلي يورتان نسبتاً كم است. باكتريهائى نوكارديابروى كاتنا و كورينه باكتريوم فلاوى سنس (پس از قرار گرفتن در گرمخانه در دماى ۲۵°C به مدت يك ماه) در اين گروه قرار مى گيرند.

نتايج بررسىهاى مختلف روى خواص فيزيكى و شيميايى الاستومرهاى پلي يورتان خصوصاً نوع پلي استر آن، در طى فرايندهائى تخریب ميكروبي نشان مى دهد كه تجزيه زيستى

طيف IR در تمام نواحى به ميزان كم و بيش يكسان مى شود. اين باكتريهائى عبارتند از: سودوموناس آئروژينوزا و بروى باكتريوم ديواريكاتوم با اثر تخریب كندگى نسبتاً شديد در كليۀ نواحى پليمر و كورينه باكتريوم پرمتابولوم و ميكروكوكوس لتوس با اثر تخریب كندگى كمتر، اما در كليۀ نواحى پليمر تقريباً يكسان است. هرچند عكس ميكروسكوب الکترون پويشى مربوط به اثر باكتري سودوموناس آئروژينوزا (پس از ۳ ماه قرار گرفتن در گرمخانه) بر ساختار سطحى پليمر (شكل ۱)، كه نشان دهنده افزايش قطر منافذ پليمر نسبت به پليمر شاهد (شكل ۲) است تا حدودى تأييد كننده نتايج بررسى طيف IR باكتري يادشده (تخریب در كليۀ نواحى ساختار مولكولى پليمر) است، اما تأييد قطعى مسئله به پژوهشهاى بيشترى در اين زمينه نياز دارد.

دسته دوم باكتريهائى كه پس از يك ماه قرار گرفتن در دماى ۲۵°C در گرمخانه در ناحيه C-O پلي يورتان، بيش از ناحيه C-H مؤثر است. به عبارت ديگر، در طيف IR مربوط به رشد باكتريهائى ياد شده روى پلي يورتان، درصد كاهش پيك در ناحيه C-O بيش از ناحيه C-H است.

باكتري ميكروكوكوس رزنوس در اين گروه قرار مى گيرد. باكتري سودوموناس آئروژينوزا علاوه بر گروه اول، در اين گروه نيز مى تواند جاي گيرد. البته، اختلاف درصد كاهش جذب مربوط به پيوندهائى C-H و C-O درمورد اين باكتري كمتر از اختلاف درصد

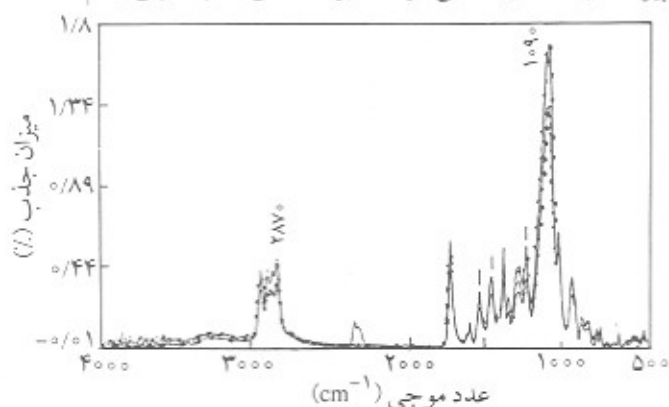


طیف‌سنجی IR و کروماتوگرافی لایه نازک انجام گرفت [۲۰]. پیشنهاد کردند که آبکافت پلی‌یورتان موجب تولید دی‌اسیدها، دی‌آمینها و دیولها می‌شود. دی‌اسیدها و دیولها در نتیجه آبکافت پلی‌استرودی‌آمینها در نتیجه آبکافت واحدهای یورتان حاصل می‌شوند. ظاهر شدن یک پیک کربونیل در ناحیه  $1685\text{ cm}^{-1}$ ، در طی تخریب، نشان دهنده تشکیل گروههای کربوکسیک *Acid hydrolysis* یک جذبی C-H، کاهش گروههای  $\text{CH}_2$  پلی‌یورتان را نشان می‌دهد.

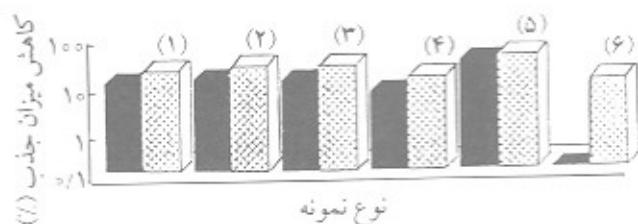
دی‌اسیدها و احتمالاً الکلها بخش اصلی گروههای  $\text{CH}_2$  پلی‌یورتان را تشکیل می‌دهند. بنابراین، کاهش نسبی جذب پیوند C-H در طی تخریب میکروبی نشان دهنده کاهش گروههای دی‌اسید و دیول از پلیمر است که این خود بر آبکافت ناحیه پلی‌استر پلی‌یورتان دلالت می‌کند. تمام نتایج پژوهش یاد شده خصوصاً کاهش نسبی تعداد پیوند C-H پلی‌یورتان در طی تخریب میکروبی با نتایج اثر باکتریهای مورد آزمایش روی خواص شیمیایی پلی‌یورتان، تا حد زیادی مطابقت دارد.

#### بررسی اثر عوامل شیمیایی بر ساختار مولکولی پلی‌یورتان

شکل ۳ براساس درصد کاهش جذب طیف IR در نواحی  $2870\text{ cm}^{-1}$  (پیوند C-H)،  $1090\text{ cm}^{-1}$  (پیوند C-O) و نسبت این دو کاهش در نتیجه تأثیر عوامل شیمیایی رسم شده است و شکل ۴ بخوبی نشان دهنده تأثیر این عوامل بر پلی‌یورتان است. آنچه در کل می‌توان نتیجه گرفت این است که اثر این عوامل بر ساختار شیمیایی پلی‌یورتان تقریباً کم است. محلول سدیم هیپوکلریت (دارای  $1600\text{ ppm}$  کلر فعال) با pH برابر  $7/8$  موجب افزایش جذب IR تقریباً در کلیه نواحی پلی‌یورتان پس از یک ماه قرار گرفتن در گرمخانه در دمای  $25^\circ\text{C}$  می‌شود. اما محلول سدیم هیپوکلریت (دارای  $32\text{ ppm}$  کلر فعال) با pH برابر  $7/1$  در همان شرایط موجب کاهش شدت جذب در نواحی پیوندهای C-H و C-O می‌شود، اما میزان کاهش جذب جزئی و کم است.



شکل ۴- اثر عوامل شیمیایی مختلف بر پلی‌یورتان و مقایسه آن با پلیمر شاهد: (—) پلیمر شاهد، (●) پلیمر + آهن (II) سولفات، (\*) پلیمر + آهن (III) کلرید و (▲) پلیمر + سدیم بی‌کربنات.



درصد کاهش C-O	۸	۹/۸	۹	۵	۲۱/۸	۰
درصد کاهش C-H	۱۵	۱۸/۷	۱۹	۱۰/۲	۲۸/۲	۷/۶

شکل ۳- اثر عوامل شیمیایی مختلف بر پلیمر شاهد و بررسی میزان درصد کاهش جذب پیوند: C-O (■) و CH (□) برای نمونه های: (۱) پلیمر + باکتری، (۲) پلیمر +  $4^\circ\text{C}$ ، (۳) پلیمر + سدیم هیپوکلریت، (۴) پلیمر + آهن (III) کلرید، (۵) پلیمر + آهن (II) سولفات و (۶) پلیمر + سدیم بی‌کربنات.

پلی‌یورتانها اصولاً موجب ایجاد تغییرات شیمیایی در ساختار پلیمر می‌شود [۱۱]. فیلپ در سال ۱۹۷۸ تخریب میکروبی اسفنجهای انعطاف‌پذیر پلی‌یورتان به وسیله میکروارگانیسمهای خاک را به وسیله طیف‌سنجی زیر قرمز مورد بررسی قرار داد [۱۸]. او نشان داد که در مورد اسفنج پلی‌استر پلی‌یورتان با مخلوطی از میکروارگانیسمهای خاک پس از ۳۰ روز قرار گرفتن در گرمخانه، دو پیک ایزوسیانات در نواحی  $2315$  و  $2120\text{ cm}^{-1}$  تقریباً بطور کامل ناپدید می‌شود و از نوار جذبی قوی ناحیه کربونیل استر و گروههای یورتان در ناحیه  $1715\text{ cm}^{-1}$  تنها یک پیک ضعیف باقی می‌ماند. او پیشنهاد کرد که نواحی اوره، آمید، یورتان و ایزوسیانات بعد از نواحی استری یا اتری مورد حمله میکروبی قرار می‌گیرند.

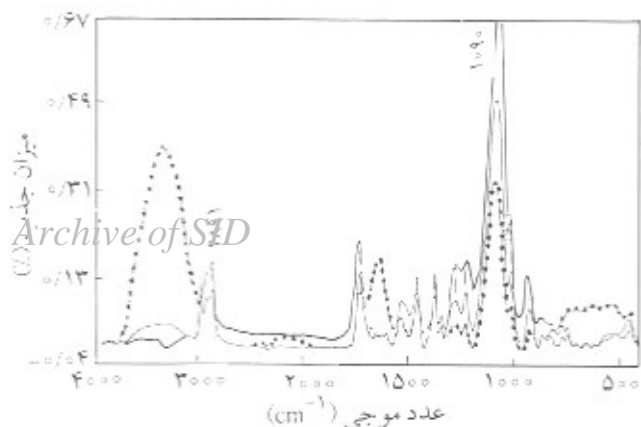
مارتنز و همکاران در سال ۱۹۸۱ تجزیه و آزاد شدن آمینهای آروماتیک سمی را از اسفنجهای پلی‌یورتان دارای  $^{14}\text{C}$  در شرایط تخریب میکروبی مورد بررسی قرار دادند [۱۹]. آنها برای نشان دادن آمینهای آروماتیک آزاد شده در نتیجه آبکافت پلی‌یورتان از روش کروماتوگرافی لایه نازک تابشی (radio-thin-layer) استفاده کردند. در دمای محیط، مقدار آمین آزاد شده ناچیز و جزئی بود، اما در دماهای بالاتر ( $50^\circ\text{C}$ ) آمینهای آروماتیک در غلظتهای کم تشخیص داده شد. آنها پیشنهاد کردند که در دماهای محیط، آمینهای تولید شده به وسیله میکروارگانیسمها مورد استفاده قرار می‌گیرند، اما در دماهای بالاتر شرایط برای رشد میکروارگانیسم مساعد نیست و بنابراین امکان تجمع آمین وجود دارد.

باتیرانا و سیل در سال ۱۹۸۵ در طی پژوهشهایشان روی تغییرات خواص شیمیایی پلی‌یورتان در نتیجه تخریب میکروبی که به وسیله

جدول ۲- بررسی اثر عوامل شیمیایی بر مهار رشد باکتریهای روی پلی یورتان.

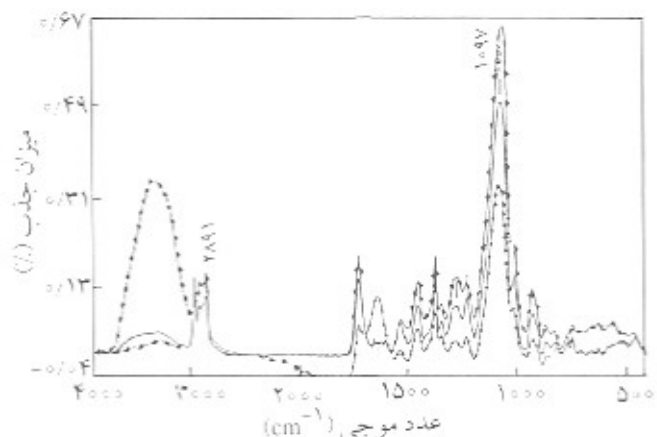
C-O-C-H	پلیمر + باکتری + سدیم سیترینات			پلیمر + باکتری + آون (II) سولفات			پلیمر + باکتری + کلرید (III) آهن			پلیمر + باکتری + NaCl			پلیمر + باکتری			درصد کاهش جذب یوئید نسبت آن	ماکتری
	C-O	C-H	C=O	C-O-C-H	C-H	C=O	C-O	C-H	C=O	C-O-C-H	C-H	C=O	C-O-C-H	C-H	C=O		
۰/۹۹	۲۰/۷	۳۱/۶	۱۲	۰/۶۲	۲۰	۱۸	۰/۸۹	۲۰	۱۸	۱۲/۵	۰/۸	۱۵/۶	۱۲/۵	۱/۱۱	۲۲	۲۹	سودوموناس آلوزینوزا
-	-	-	-	-	-	۲/۶	۰/۲۵	۱۰	۲/۶	۰/۹	۰/۰۹۲	۹/۲	۰/۹	-	۳۴	۰	سودوموناس یونیدا
۰/۹	۲۷/۵	۳۴	۲۱	۱/۱۸	۲۵	-	-	-	-	۲۷/۲	۱/۰۱	۲۷	۲۷/۲	۰/۹۴	۱۵/۲	۱۲/۵	نوکاردا بروی کائنا
۱/۲۲	۲۰	۲۸	۹/۹	۰/۵	۱۲/۵	۹/۶	۰/۵	۱۲	۹/۶	۷	۰/۵۷	۱۲/۵	۷	۰/۶	۱۲	۷/۲	کوردینه باکتریوم فلاوی سنسی
۰/۷	۲۵	۱۷	-	-	-	-	-	-	-	۲۳	۲۳	۱۶	۲/۶	۱/۰۸	۲۵	۲۷	کوردینه باکتریوم پرمیتابولوم
-	۷/۶	۰	۲۵/۷	۰/۶	۲۵	۰	-	۱۷/۹	۰	۵۲	۰/۹۸	۵۳	۵۲	۱/۰۵	۲۳	۲۶	بروی باکتریوم دیواریکاتوم
۱/۲	۲۰/۵	۲۵	۲۱	۱/۲	۳۱/۵	۱۷/۵	۰/۱۷	۱۸	۱۷/۵	۲۷/۶	۰/۹۸	۲۸	۲۷/۶	۱/۲۶	۲۰	۳۸	میکروکوکوس رزنوس
۰/۸	۷/۲	۱۸	۲	۰/۲	۷/۵	۵	۰/۲	۱۲	۵	۱۲/۵	۰/۷	۱۹	۱۲/۵	۰/۷۵	۲۸	۲۱	میکروکوکوس لئوس



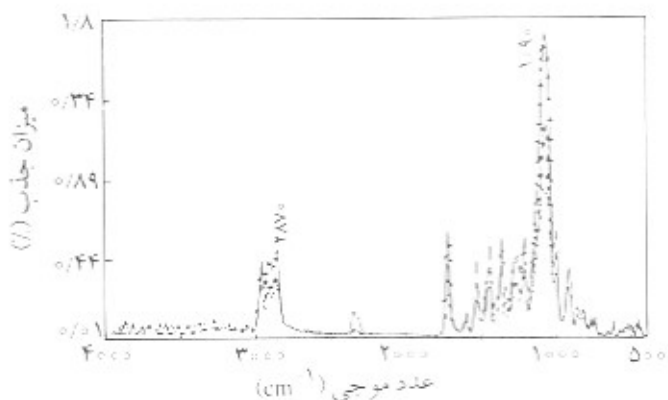


شکل ۷- بررسی اثر محلول سدیم هیپوکلریت در جلوگیری از تخریب میکروبی پلی یورتان به وسیله باکتری نوکاردیابروی کائنا با مقایسه طیف IR نمونه های مختلف: (-) پلیمر شاهد، (●) پلیمر + باکتری و (-) پلیمر + سدیم هیپو کلریت + باکتری.

ناپایداری آهن دو ظرفیتی ( $Fe^{2+}$ ) و تمایل آن به ترکیب با اکسیژن یا اکسید شدن یکی از دلایل احتمالی تخریب به کمک این عامل است. از آنجا که از اهداف اصلی این پژوهش، کاربرد عوامل شیمیایی، جلوگیری از چسبندگی و تشکیل کلتی باکتریایی بود، بنابراین می بایست تا حد امکان از نفوذ آن به داخل پلیمر، که حداقل موجب شکستگی پیوندهای بین مولکولی می شود، جلوگیری می شد. اما، بی شکل بودن پلیمر مورد آزمایش در این پژوهش نفوذ مواد مختلف را به داخل آن امکان پذیر می کرد. با وجود اینکه عوامل ضد میکروبی دامنه وسیعی دارند و شامل اسیدها، استرها، الکلهای آندهیدها، فوولها، هالوژنها، ترکیبات آلی جیوه، ترکیبات چهار نایی



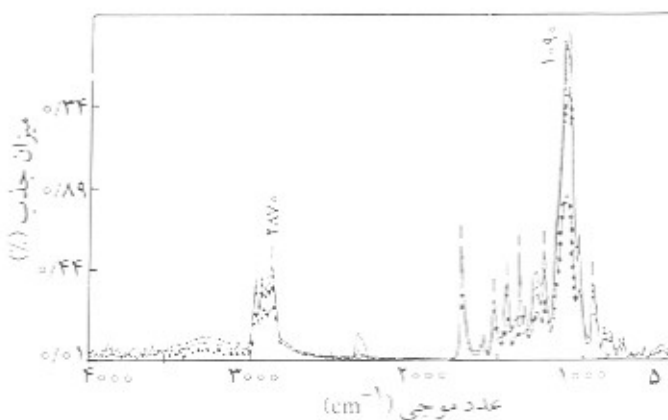
شکل ۸- بررسی اثر محلول سدیم هیپوکلریت در جلوگیری از تخریب میکروبی پلی یورتان به وسیله باکتری میکروکوکوس رزنوس با مقایسه طیف IR نمونه های مختلف: (-) پلیمر شاهد، (●) پلیمر + باکتری و (▲) پلیمر + سدیم هیپو کلریت + باکتری.



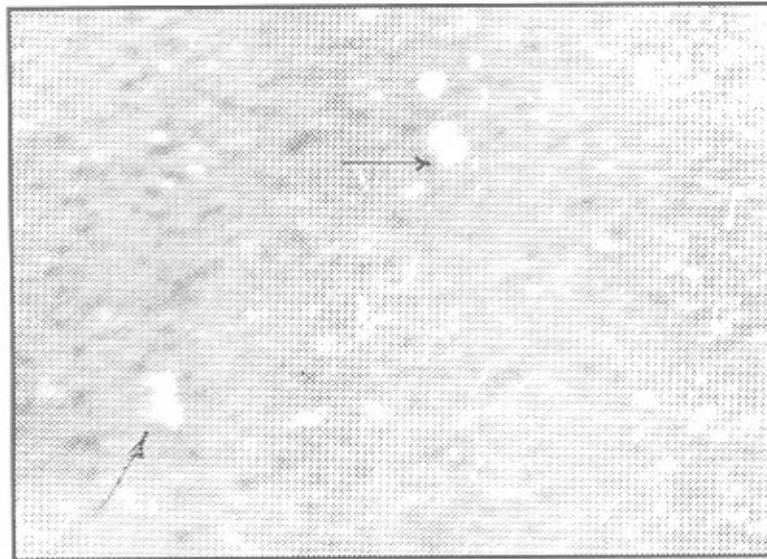
شکل ۵- بررسی اثر محلول سدیم بی کربنات در جلوگیری از تخریب میکروبی پلی یورتان به وسیله باکتری سودوموناس آنروژینوزا با مقایسه طیف IR نمونه های مختلف: (-) پلیمر شاهد، (●) پلیمر + باکتری و (▲) پلیمر + سدیم بی کربنات + باکتری.

اثر محلولهای آهن ۷۶۷۰ ppm (III) کلرید (pH=۷/۴) و ۵۰۰۰ ppm سدیم بی کربنات (pH=۱۰/۲) بر خواص شیمیایی پلی یورتان پس از گرفتن در گرمخانه در دمای ۲۵°C جزئی و کم است (شکلهای ۵ و ۶). درصد تأثیر محلول سدیم بی کربنات بر ناحیه C-O صفر و بر ناحیه C-H بسیار جزئی است و محلول آهن (III) کلرید نیز بر هر دو ناحیه فوق تأثیر بسیار جزئی دارد.

طیف IR پلی یورتان دارای ۷ mmol/L (۱۹۴۶ ppm) آهن (II) سولفات نسبت به طیف پلیمر شاهد (بدون آهن (II) سولفات) پس از یک ماه قرار گرفتن در گرمخانه در دمای ۲۵°C در نواحی C-O و C-H کاهش جذب نشان می دهد. با وجودی که این مقدار کاهش، بیش از کاهش حاصل از سایر عوامل شیمیایی است، ولی میزان آن زیاد نیست.



شکل ۶- بررسی اثر محلول آهن (III) کلرید در جلوگیری از تخریب میکروبی پلی یورتان به وسیله باکتری سودوموناس آنروژینوزا با مقایسه طیف IR نمونه های مختلف: (-) پلیمر شاهد، (●) پلیمر + باکتری و (▲) پلیمر - آهن (III) کلرید - باکتری.



شكل ۹- عكس ميكروسكوبى چسبندگى باكتري نو كارد يا بروى كاتنا به سطح پلى يورتان.

- جلوگيرى از عمل آنزيمهاى تجزيه كننده ساختار شيميايى پليمر از طريق غير فعال كردن اين آنزيمها و  
 - تخریب دیواره سلولی و غشای سيتوپلاسمی باكتري.  
 - غلظت بالای آهن، کاهش توليد توکسين A، آلکالين پروتئاز، الاستاز و رنگدانه‌هاى غير پروتئينى فلورسئين و بيوسپاين، را در سودوموناس آنروژينوزا سبب مى‌شود [۲۱].  
 - محلول سدیم بي کربنات به عنوان پک عامل باكتري کش قليايى عمل کرده و با استفاده از يونهاى OH<sup>-</sup>، تخریب دیواره سلولی و غشای سيتوپلاسمی باكتري را سبب مى‌شود.

### نتیجه گیری

نتایج بررسیهای انجام شده نشان می‌دهد که اثر مهارکنندگی پلى يورتان داراى آهن (II) سولفات بر رشد باكتريهاى ميكروكوكوس لتوس و كورينه باكتريوم فلاوى سنس تقريباً بطور كامل است. در ضمن، اين عامل قادر است رشد باكتري سودوموناس آنروژينوزا را نيز تا حدودى مهار كند. اما، بطوركلی اثر مهاركنندگى اين عامل بر رشد باكتريهاى مورد آزمایش روى پلى يورتان كمتر از ساير عوامل است.

مکانيسم اثر باكتري کشى آهن (II) سولفات از طريق مداخله در واكنشهاى آنزيمى سلول باكتري اعمال مى‌شود. اين عامل در تركيب با ماتريس، تنها در نقاطى كه در سطح پليمر وجود دارد

آمونيم، هيدروژن پروكسيد و بسيارى از عوامل ديگرند، ماهيت شيميايى و بى شكل بودن پلى يورتان مورد آزمایش استفاده از اين عوامل را، به عنوان عوامل مهار كننده محدود مى‌كرد و بنا بر اين بيشتري از عوامل شيميايى استفاده شد كه از نظر ماهيت شيميايى با پليمر اختلاف داشتند.

اثر عوامل شيميايى در مهار رشد باكتريهاى مورد آزمایش روى پلى يورتان در جدول ۲ اثر عوامل شيميايى مورد آزمایش در مهار رشد باكتريهاى مورد نظر روى پلى يورتان خلاصه شده است. شكل ۱ مهار رشد باكتري سودوموناس آنروژينوزا روى پلى يورتان را، كه به وسيله محلول سدیم هيوكلريت انجام گرفته است بخوبى نشان مى‌دهد. شكلهاى ۷ و ۸ نيز نشان مى‌دهند كه در نمونه مربوط به اثر مهاركنندگى محلول سدیم هيوكلريت (۱۶۰۰ ppm)، افزايش جذب در كليۀ نواحى ساختار مولكولى پلى يورتان وجود دارد. بنا بر اين، براى بررسى اثر مهاركنندگى اين عامل به پژوهشهاى بيشتري و دستگاههاى مجهزتر و روشهاى ديگر (اعلاوه بر طيف سنجى FTIR) نياز است.

نتایج نشان می‌دهد که اثر مهارکنندگی محلولهای ۷۶۷۹ppm آهن (III) كلريد و ۵۰۰۰۰ppm سدیم بي کربنات بر رشد باكتريهاى مورد آزمایش روى پلى يورتان تقريباً كامل است. پوشاندن پلى يورتان به وسيله محلولهاى يادشده از طريق مكانيسمهاى زير از رشد باكتريها روى پليمر جلوگيرى بعمل مى‌آورد:

- جلوگيرى از چسبندگى باكتريها به پلى يورتان.

میکروسکوپ الکترون پویشی و مطالعه روی پلیمر و همچنین روی چسبندگی باکتری، این آزمایشها نتیجه بخش نبود (شکل ۹). بنابراین، در صورت استفاده از روشی که در آن ضمن آماده‌سازی نمونه برای مشاهده با میکروسکوپ الکترون پویشی چسبندگی باکتری به پلیمر حفظ شود، روش میکروسکوپ الکترون پویشی یکی از بهترین روشها برای ارزیابی اثر بازدارندگی عوامل فیزیکی یا شیمیایی مختلف بر چسبندگی باکتری به پلیمر خواهد بود.

#### تشکر و قدردانی

بدین وسیله از همکاری مرکز تحقیقات مهندسی جهاد سازندگی تهران در تهیه طیفهای زیر قرمز قدردانی می شود.

#### مراجع

- Gajewski V., Uniroyal Chenucal.; *Chemical degradation of polyurethane*; 1990.
- Hawkins. W.L; *Polymer Stabilization*; USA, Part Biological Stability of Polymers , 278-393, 1972.
- Aminabhavi T.M. and Balundgi R.H., "A Review on Biodegradable Plastics" *Polym. Plast. Technol. Eng.*; 29, 3, 235, 1990.
- Peters G., "New Considerations in the Pathogenesis of Coagulase-negative Staphylococcal Foreign Body Infections" *J. Antimicrob Chemother* ; 21, 139,48, 1988.
- Anderson M. J., Hiltner A., Wiggins M. J., Schubert M. A., Collier T. O., John Kao W. and Mathur A. B., "Recent Advances in Biomedical Polyurethane Biostability and Biodegradation" *Polym. Inter.*; 46, 3, 163-71, 1998.
- کسری کرمانشاهی روحا، صهبائی زهره، "پایدار نمودن نوعی پلیمر یورتان در برابر تخریب زیستی باکتریایی"، دانشگاه اصفهان، دانشکده علوم، گروه زیست شناسی، بخش میکروبیولوژی، ۱۳۷۳.
- Anshu B. M., Collier T.O., John Kao W., Wiggins M., Schubert M.A., Hiltner A. and Anderson M.J., "In Vivo Biocompatibility and Biostability of Modified Polyurethanes" *J. Biomedical*

قادر است از چسبندگی باکتری به سطح پلیمر جلوگیری کند. همچنین، به علت پیوند شدن با پلیمر قادر نیست وارد سلول شود، بلکه مکانیسم اثر باکتری کشی خود را تنها از طریق واکنش با آنزیمهای خارج سلول، آن هم در نقاطی که در سطح پلیمر وجود دارد اعمال می کند. دلایل احتمالی یادشده تا حدودی می تواند عدم مهار کنندگی این عامل را، با وجود غلظت زیاد (باکتری کشی برای کلیه باکتریهای مورد آزمایش)، در مورد بعضی از باکتریهای آزمایش شده توجیه کند. با وجود اینکه در این پژوهش برای تهیه نمونه‌ای که بتوان به وسیله میکروسکوپ الکترون پویشی چسبندگی باکتری را به پلی یورتان، به عنوان شاهدی بر عدم چسبندگی آن در مجاورت عوامل فیزیکی یا شیمیایی، مشاهده کرد آزمایشهای زیاد و مختلفی انجام گرفت، اما متأسفانه به علت اثر مواد تثبیت کننده و مواد دیگر مورد استفاده در مراحل مختلف فرایند، تهیه نمونه برای مشاهده با

*Research*; 36, 2, 246-57, 1997.

- Wiggins M. J., Wilkoff B., Anderson M. J. and Hiltner A., "Biodegradation of Polyether Polyurethane Inner Insulation in Bipolar Pacemaker Leads" *J. Biomedical Materials Research* ; 58, 3, 302-7, 2001.
- Bailey and Scott's; *Diagnostic Microbiology*; 10th ed., Sahn D.F. and Weissfeld A.S. (Eds.), Mosby, USA, 1998.
- Skoog D. A., West D. M. and James H. F.; *Fundamentals of Analytical Chemistry*; 7th ed., Philadelphia, PA: Saunders College, 1995.
- Pathirana R.A. and Seal K.J., "Studies on Polyurethane Deteriorating Fungi I. Part 3. Physicomechanical and Weight Changes During Fungal Deterioration" *Inter. Biodeterioration*; 21, 1, 41-9, 1985.
- Price D.L., Sawant A.D. and Ahearn D.G. "Activity of an Insoluble Antimicrobial Quaternary Amine Complex in Plastics" *J. Ind. Microbiol.*; 8, 82-90, 1991.
- Klopffer W., "Polymers/Properties and Applications 7"; *Introduction to polymer Spectroscopy*; Springer, Verlag Berlin Heidelberg, New York, Germany, 1984.

۱۴. كسرى كرمانشاهى، روحا، نايب مهرناز، "جداسازى و شناسايى باكتريهاى مؤثر بر روى پليمرپلى يورتان و تأثير آنها بر روى پليمرهاى مشابه سالم" دانشگاه اصفهان، دانشكده علوم، گروه زيست شناسى، بخش ميكروبيولوژى، ۱۳۷۰.
15. Sawyer L. C. and Grubb D. T.; *Polymer Microscopy*, USA, Chapman and Hall, Cambridge, 1987.
16. Martinez-Martinez L., Pascual A. and Perea E. J., "Kinetics of Adherence of Mucoid and Non-mucoid *Pseudomonas aeruginosa* to Plastic Catheters" *J. Medical Microbiology*; **34**, 7-12, 1991.
17. Peters G., Locci R. and Pulverer G., "Adherence and Growth of Coagulas-negative Staphylococci on Surface of Intervenous Catheters" *J. Infection Diseases*; **196**, 4, 1982.
18. Filip Z., "Decomposition of Polyurethane in a Garbage Landfill Leakage Water and by Soil Microorganism" *Eur. J. Appl. Microbiol. Biotech.* ; **5**, 225-31, 1978.
19. Martens R., Domsch K.H., "Microbial Degradation of Polyurethane Foams and Isocyanate Based Polyureas in Different Media" *Water, Air and Soil Pollution*; **15**, 503-9, 1981.
20. Pathirana R.A. and Seal K.J., "Studies on Polyurethane Deteriorating Fungi, 4. A Note on the Spectro-chemical Changes During Fungal Deterioration" *Inter. Biodeterioration*; **21**, 2, 1985
21. Pamela A. S. Charles D. C. and Barbara H. I., "Pseudomonas aeruginosa Mutants Altered in their Sensitivity to the Effect of Iron on Toxic A or Elastase Yields" *J. Bacteriology Aug*; 783-81, 1982.